

# C

## Magnetostatik

## Magnetostatics

©2003 Franz Wegner Universität Heidelberg

In diesem Kapitel behandeln wir die Magnetostatik ausgehend von den Gleichungen, die für zeitunabhängige Ströme am Anfang des Abschnittes (3.a) hergeleitet wurden.

In this chapter we consider magnetostatics starting from the equations, which were derived at the beginning of section (3.a) for time independent currents.

### 9 Magnetische Induktion und Vektorpotential

#### 9.a AMPEREGesetz

Aus

folgt

From

$$\text{rot } \mathbf{B}(\mathbf{r}) = \frac{4\pi}{c} \mathbf{j}(\mathbf{r}) \quad (9.1)$$

one obtains

$$\int d\mathbf{f} \cdot \text{rot } \mathbf{B}(\mathbf{r}) = \frac{4\pi}{c} \int d\mathbf{f} \cdot \mathbf{j}(\mathbf{r}), \quad (9.2)$$

was mit Hilfe des STOKESSchen Satzes (B.56)

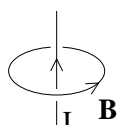
which can be written by means of STOKES' theorem (B.56)

$$\oint d\mathbf{r} \cdot \mathbf{B}(\mathbf{r}) = \frac{4\pi}{c} I \quad (9.3)$$

geschrieben werden kann. Das Linienintegral der magnetischen Induktion  $\mathbf{B}$  über eine geschlossene Kurve ergibt das  $4\pi/c$  fache des Stromes  $I$  durch die Kurve. Dies ist das AMPERESche Gesetz.

. The line integral of the magnetic induction  $\mathbf{B}$  along a closed line yields  $4\pi/c$  times the current  $I$  through the line.

Dabei gilt die Korkenzieher-Regel: Der Strom ist in die Richtung zu messen, in die sich der Korkenzieher bei Drehung in die Richtung des Linienintegrals bewegt.



Here the corkscrew rule applies: If the current moves in the direction of the corkscrew, then the magnetic induction has the direction in which the corkscrew rotates.

#### 9.b Magnetischer Fluss

Als magnetischen Fluss  $\Psi^m$  durch eine gerichtete Fläche  $F$  bezeichnet man das Integral

#### 9.b Magnetic Flux

The magnetic flux  $\Psi^m$  through an oriented area  $F$  is defined as the integral

$$\Psi^m = \int_F d\mathbf{f} \cdot \mathbf{B}(\mathbf{r}). \quad (9.4)$$

Der magnetische Fluss hängt nur von der Berandung  $\partial F$  der Fläche ab. Zum Beweis bilden wir die Differenz des Flusses durch zwei Flächen  $F_1$  und  $F_2$  mit der gleichen Berandung und erhalten

$$\Psi_1^m - \Psi_2^m = \int_{F_1} d\mathbf{f} \cdot \mathbf{B}(\mathbf{r}) - \int_{F_2} d\mathbf{f} \cdot \mathbf{B}(\mathbf{r}) = \int_F d\mathbf{f} \cdot \mathbf{B}(\mathbf{r}) = \int_V d^3 r \operatorname{div} \mathbf{B}(\mathbf{r}) = 0 \quad (9.5)$$

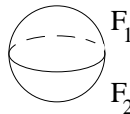
mit Hilfe des GAUSSSchen Satzes (B.59) und  $\operatorname{div} \mathbf{B}(\mathbf{r}) = 0$ .

Dabei seien  $F_1$  und  $F_2$  in die gleiche Richtung (zum Beispiel nach oben) orientiert. Die geschlossene Fläche  $F$  setzt sich aus  $F_1$  und  $F_2$  zusammen, wobei  $F_2$  jetzt in der umgekehrten Richtung orientiert sei.

Dann hat  $F$  eine bestimmte Orientierung (zum Beispiel nach außen) und schließt das Volumen  $V$  ein.

The magnetic flux depends only on the boundary  $\partial F$  of the area. To show this we consider the difference of the flux through two areas  $F_1$  and  $F_2$  with the same boundary and obtain

by means of the divergence theorem (B.59) and  $\operatorname{div} \mathbf{B}(\mathbf{r}) = 0$ .



Suppose  $F_1$  and  $F_2$  are oriented in the same direction (for example upwards). Then the closed surface  $F$  is composed of  $F_1$  and  $F_2$ , where  $F_2$  is now oriented in the opposite direction.

Then  $F$  has a definite orientation (for example outwards) and includes the volume  $V$ .

### 9.c Feld einer Stromverteilung

Aus  $\operatorname{rot} \operatorname{rot} \mathbf{B}(\mathbf{r}) = (4\pi/c) \operatorname{rot} \mathbf{j}(\mathbf{r})$  folgt wegen (B.26)

### 9.c Field of a Current Distribution

From  $\operatorname{curl} \operatorname{curl} \mathbf{B}(\mathbf{r}) = (4\pi/c) \operatorname{curl} \mathbf{j}(\mathbf{r})$  due to (B.26)

$$\operatorname{rot} \operatorname{rot} \mathbf{B}(\mathbf{r}) = \operatorname{grad} \operatorname{div} \mathbf{B}(\mathbf{r}) - \Delta \mathbf{B}(\mathbf{r}) \quad (9.6)$$

und  $\operatorname{div} \mathbf{B}(\mathbf{r}) = 0$

and  $\operatorname{div} \mathbf{B}(\mathbf{r}) = 0$  one obtains

$$\Delta \mathbf{B}(\mathbf{r}) = -\frac{4\pi}{c} \operatorname{rot} \mathbf{j}(\mathbf{r}) \quad (9.7)$$

mit der Lösung

with the solution

$$\mathbf{B}(\mathbf{r}) = \frac{1}{c} \int d^3 r' \frac{1}{|\mathbf{r} - \mathbf{r}'|} \operatorname{rot}' \mathbf{j}(\mathbf{r}') = -\frac{1}{c} \int d^3 r' \left( \nabla' \frac{1}{|\mathbf{r} - \mathbf{r}'|} \right) \times \mathbf{j}(\mathbf{r}') = \frac{1}{c} \int d^3 r' \frac{\mathbf{r}' - \mathbf{r}}{|\mathbf{r} - \mathbf{r}'|^3} \times \mathbf{j}(\mathbf{r}'), \quad (9.8)$$

wobei wir beim zweiten Gleichheitszeichen (B.63) verwendet haben. Der letzte Ausdruck wird als das Gesetz von BIOT und SAVART bezeichnet.

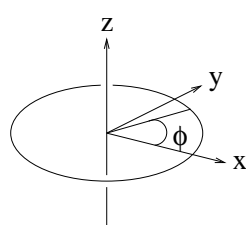
where we have used (B.63) at the second equals sign. The last expression is called the law of BIOT and SAVART.

Ist die Ausdehnung eines Drahtes senkrecht zur Stromrichtung vernachlässigbar klein (Stromfaden), so kann man  $d^3 r' \mathbf{j}(\mathbf{r}') = df' dl' j(\mathbf{r}') \mathbf{e} = I dr'$  approximieren und erhält

$$\mathbf{B}(\mathbf{r}) = \frac{I}{c} \int \frac{\mathbf{r}' - \mathbf{r}}{|\mathbf{r} - \mathbf{r}'|^3} \times d\mathbf{r}' \quad (9.9)$$

Als Beispiel betrachten wir die Induktion in der Mittelachse eines Kreisstromes

If the extension of a wire perpendicular to the direction of the current is negligible (filamentary wire) then one can approximate  $d^3 r' \mathbf{j}(\mathbf{r}') = df' dl' j(\mathbf{r}') \mathbf{e} = I dr'$  and obtains



As an example we consider the induction in the middle axis of a current along a circle

$$\mathbf{r} = z\mathbf{e}_z, \quad \mathbf{r}' = (R \cos \phi, R \sin \phi, z') \quad d\mathbf{r}' = (-R \sin \phi, R \cos \phi, 0) d\phi \quad (9.10)$$

$$(\mathbf{r}' - \mathbf{r}) \times d\mathbf{r}' = (R(z - z') \cos \phi, R(z - z') \sin \phi, R^2) d\phi \quad (9.11)$$

$$\mathbf{B}(0, 0, z) = \frac{2\pi IR^2 \mathbf{e}_z}{c(R^2 + (z - z')^2)^{3/2}}. \quad (9.12)$$

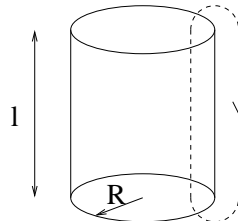
Davon ausgehend berechnen wir das Feld in der Mitte der Spule. Sie habe  $N$  Windungen und reiche von  $z' = -l/2$  bis  $z' = +l/2$ . Wir erhalten dann

$$\mathbf{B}(0, 0, z) = \int_{-l/2}^{+l/2} \frac{Ndz'}{l} \frac{2\pi IR^2 \mathbf{e}_z}{c(R^2 + (z - z')^2)^{3/2}} = \frac{2\pi IN}{cl} \mathbf{e}_z \left( \frac{\frac{l}{2} - z}{\sqrt{R^2 + (\frac{l}{2} - z)^2}} + \frac{\frac{l}{2} + z}{\sqrt{R^2 + (\frac{l}{2} + z)^2}} \right). \quad (9.13)$$

Ist die Spule lang,  $R \ll l$ , dann kann man für hinreichend große Entfernung vom Spulenende das  $R^2$  im Nenner vernachlässigen und erhält für das Innere der Spule

$$\mathbf{B} = \frac{4\pi IN}{cl} \mathbf{e}_z. \quad (9.14)$$

An den Spulenenden ist das Feld auf die Hälfte des Wertes im Inneren abgefallen. Aus dem AMPÈRESchen Gesetz folgt bei Integration längs des in der Figur angegebenen Weges



At the ends of the coil the field has decayed to one half of its intensity inside the coil. From AMPÈRE's law one obtains by integration along the path described in the figure

$$\oint d\mathbf{r} \cdot \mathbf{B} = \frac{4\pi}{c} IN. \quad (9.15)$$

Daher gilt im Innern näherungsweise der in (9.14) bestimmte Wert, während außerhalb die magnetische Induktion klein dagegen ist.

Thus inside the coil one obtains the induction (9.14), whereas the magnetic induction outside is comparatively small.

## 9.d Vektorpotential

Wir formen den Ausdruck für die magnetische Induktion um

$$\mathbf{B}(\mathbf{r}) = -\frac{1}{c} \int d^3 r' \left( \nabla' \frac{1}{|\mathbf{r} - \mathbf{r}'|} \right) \times \mathbf{j}(\mathbf{r}') = \frac{1}{c} \int d^3 r' \nabla \frac{1}{|\mathbf{r} - \mathbf{r}'|} \times \mathbf{j}(\mathbf{r}') = \text{rot } \mathbf{A}(\mathbf{r}) \quad (9.16)$$

mit

$$\mathbf{A}(\mathbf{r}) = \frac{1}{c} \int d^3 r' \frac{\mathbf{j}(\mathbf{r}')}{|\mathbf{r} - \mathbf{r}'|}. \quad (9.17)$$

Man bezeichnet  $\mathbf{A}$  als das Vektorpotential. Man betrachte den analogen Zusammenhang zwischen Ladungsdichte  $\rho$  und dem elektrischen Potential  $\Phi$  in der Elektrostatisik (3.14). Wir zeigen noch, dass  $\mathbf{A}$  divergenzfrei ist

$$\text{div } \mathbf{A}(\mathbf{r}) = \frac{1}{c} \int d^3 r' \left( \nabla' \frac{1}{|\mathbf{r} - \mathbf{r}'|} \right) \cdot \mathbf{j}(\mathbf{r}') = -\frac{1}{c} \int d^3 r' \left( \nabla' \frac{1}{|\mathbf{r} - \mathbf{r}'|} \right) \cdot \mathbf{j}(\mathbf{r}')$$

## 9.d Vector Potential

We now rewrite the expression for the magnetic induction

with

One calls  $\mathbf{A}$  the vector potential. Consider the analog relation between charge density  $\rho$  and the electric potential  $\phi$  in electrostatics (3.14). We show that  $\mathbf{A}$  is divergence-free

$$= \frac{1}{c} \int d^3r' \frac{1}{|\mathbf{r} - \mathbf{r}'|} \nabla' \mathbf{j}(\mathbf{r}') = 0. \quad (9.18)$$

Bei dem dritten Gleichheitszeichen haben wir partiell integriert (B.62). Am Schluss haben wir  $\operatorname{div} \mathbf{j}(\mathbf{r}) = 0$  verwendet.

At the third equals sign we have performed a partial integration (B.62). Finally we have used  $\operatorname{div} \mathbf{j}(\mathbf{r}) = 0$ .

### 9.e Kraft zwischen zwei Stromkreisen

Wir betrachten noch die Kraft zwischen zwei Stromkreisen. Die Kraft, die der Stromkreis (1) auf den Stromkreis (2) ausübt, ist

$$\begin{aligned} \mathbf{K}_2 &= \frac{1}{c} \int d^3r \mathbf{j}_2(\mathbf{r}) \times \mathbf{B}_1(\mathbf{r}) = \frac{1}{c^2} \int d^3r d^3r' \mathbf{j}_2(\mathbf{r}) \times \left( \nabla \frac{1}{|\mathbf{r} - \mathbf{r}'|} \right) \times \mathbf{j}_1(\mathbf{r}') \\ &= \frac{1}{c^2} \int d^3r d^3r' (\mathbf{j}_1(\mathbf{r}') \cdot \mathbf{j}_2(\mathbf{r})) \nabla \frac{1}{|\mathbf{r} - \mathbf{r}'|} - \frac{1}{c^2} \int d^3r d^3r' \left( \nabla \frac{1}{|\mathbf{r} - \mathbf{r}'|} \right) \cdot \mathbf{j}_2(\mathbf{r}) \mathbf{j}_1(\mathbf{r}') \end{aligned} \quad (9.19)$$

unter Verwendung von (B.14). Da wegen (B.62)

where (B.14) has been applied. Since due to (B.62)

$$\int d^3r \left( \nabla \frac{1}{|\mathbf{r} - \mathbf{r}'|} \right) \cdot \mathbf{j}_2(\mathbf{r}) = - \int d^3r \frac{1}{|\mathbf{r} - \mathbf{r}'|} \nabla \cdot \mathbf{j}_2(\mathbf{r}) \quad (9.20)$$

und  $\operatorname{div} \mathbf{j}_2(\mathbf{r}) = 0$ , folgt schließlich für die Kraft

and  $\operatorname{div} \mathbf{j}_2(\mathbf{r}) = 0$ , one obtains finally for the force

$$\mathbf{K}_2 = \frac{1}{c^2} \int d^3r d^3r' (\mathbf{j}_1(\mathbf{r}') \cdot \mathbf{j}_2(\mathbf{r})) \nabla \frac{1}{|\mathbf{r} - \mathbf{r}'|}. \quad (9.21)$$

Die auf den ersten Stromkreis wirkende Kraft erhält man durch Austauschen von 1 und 2. Gleichzeitig kann man  $\mathbf{r}$  und  $\mathbf{r}'$  austauschen. Man sieht dann, dass

The force acting on circuit (1) is obtained by exchanging 1 and 2. Simultaneously, one can exchange  $\mathbf{r}$  and  $\mathbf{r}'$ . One sees then that

$$\mathbf{K}_1 = -\mathbf{K}_2 \quad (9.22)$$

gilt.

holds.

**Aufgabe** Berechne die Kraft zwischen zwei von Strömen  $I_1$  und  $I_2$  durchlaufenden Drähten, die über die Länge  $l$  parallel im Abstand  $r$  ( $r \ll l$ ) laufen. Hieraus bestimmten KOHLRAUSCH und WEBER die Lichtgeschwindigkeit.

**Exercise** Calculate the force between two wires of length  $l$  carrying currents  $I_1$  and  $I_2$  which run parallel in a distance  $r$  ( $r \ll l$ ). KOHLRAUSCH and WEBER measured this force in order to determine the velocity of light.

## 10 Ringströme als magnetische Dipole

### 10.a Lokalisierte Stromverteilung und magnetischer Dipol

Wir betrachten eine Stromverteilung, die außerhalb einer Kugel vom Radius  $R$  verschwindet ( $\mathbf{j}(\mathbf{r}') = \mathbf{0}$  für  $r' > R$ ) und fragen nach der magnetischen Induktion  $\mathbf{B}(\mathbf{r})$  für  $r > R$ . Wir können dann das Vektorpotential  $\mathbf{A}(\mathbf{r})$  (9.17) ähnlich wie das elektrische Potential  $\Phi(\mathbf{r})$  in Abschnitt (4) entwickeln

$$\mathbf{A}(\mathbf{r}) = \frac{1}{c} \int d^3 r' \frac{\mathbf{j}(\mathbf{r}')}{|\mathbf{r} - \mathbf{r}'|} = \frac{1}{cr} \int d^3 r' \mathbf{j}(\mathbf{r}') + \frac{x_\alpha}{cr^3} \int d^3 r' x'_\alpha \mathbf{j}(\mathbf{r}') + \dots \quad (10.1)$$

Da durch die Kugeloberfläche kein Strom fließt, folgt

$$0 = \int d\mathbf{f} \cdot g(\mathbf{r}) \mathbf{j}(\mathbf{r}) = \int d^3 r \operatorname{div}(g(\mathbf{r}) \mathbf{j}(\mathbf{r})) = \int d^3 r \operatorname{grad} g(\mathbf{r}) \cdot \mathbf{j}(\mathbf{r}) + \int d^3 r g(\mathbf{r}) \operatorname{div} \mathbf{j}(\mathbf{r}), \quad (10.2)$$

wobei die Integrale über die Oberfläche beziehungsweise das Volumen der Kugel erstreckt werden. Aus der Kontinuitätsgleichung (1.12,3.1) folgt also

$$\int d^3 r \operatorname{grad} g(\mathbf{r}) \cdot \mathbf{j}(\mathbf{r}) = 0. \quad (10.3)$$

Dies verwenden wir, um die Integrale in der Entwicklung (10.1) zu vereinfachen. Mit  $g(\mathbf{r}) = x_\alpha$  folgt

$$\int d^3 r j_\alpha(\mathbf{r}) = 0. \quad (10.4)$$

Damit fällt der erste Term der Entwicklung weg. Es gibt keinen mit  $1/r$  abfallenden Beitrag im Vektorpotential für die Magnetostatik, das heißt keinen magnetischen Monopol. Mit  $g(\mathbf{r}) = x_\alpha x_\beta$  folgt

$$\int d^3 r (x_\alpha j_\beta(\mathbf{r}) + x_\beta j_\alpha(\mathbf{r})) = 0. \quad (10.5)$$

Damit können wir umformen

$$\int d^3 r x_\alpha j_\beta = \frac{1}{2} \int d^3 r (x_\alpha j_\beta - x_\beta j_\alpha) + \frac{1}{2} \int d^3 r (x_\alpha j_\beta + x_\beta j_\alpha). \quad (10.6)$$

Das zweite Integral verschwindet, wie wir gerade gesehen haben. Das erste ändert sein Vorzeichen bei Austausch der Indices  $\alpha$  und  $\beta$ . Man führt ein

$$\int d^3 r x_\alpha j_\beta = \frac{1}{2} \int d^3 r (x_\alpha j_\beta - x_\beta j_\alpha) = c \epsilon_{\alpha\beta\gamma} m_\gamma \quad (10.7)$$

und bezeichnet den sich daraus ergebenden Vektor

$$\mathbf{m} = \frac{1}{2c} \int d^3 r' (\mathbf{r}' \times \mathbf{j}(\mathbf{r}')) \quad (10.8)$$

## 10 Loops of Current as Magnetic Dipoles

### 10.a Localized Current Distribution and Magnetic Dipole

We consider a distribution of currents which vanishes outside a sphere of radius  $R$  ( $\mathbf{j}(\mathbf{r}') = \mathbf{0}$  for  $r' > R$ ) and determine the magnetic induction  $\mathbf{B}(\mathbf{r})$  for  $r > R$ . We may expand the vector potential  $\mathbf{A}(\mathbf{r})$  (9.17) similar to the electric potential  $\Phi(\mathbf{r})$  in section (4)

Since no current flows through the surface of the sphere one obtains

where the integrals are extended over the surface and the volume of the sphere, respectively. From the equation of continuity (1.12,3.1) it follows that

This is used to simplify the integral in the expansion (10.1). With  $g(\mathbf{r}) = x_\alpha$  one obtains

Thus the first term in the expansion vanishes. There is no contribution to the vector potential decaying like  $1/r$  in magnetostatics, i.e. there is no magnetic monopole. With  $g(\mathbf{r}) = x_\alpha x_\beta$  one obtains

Thus we can rewrite

The second integral vanishes, as we have seen. The first one changes its sign upon exchanging the indices  $\alpha$  and  $\beta$ . One introduces

and calls the resulting vector

als das magnetische Dipolmoment. Damit folgt dann

$$A_\beta(\mathbf{r}) = \frac{x_\alpha}{cr^3} c\epsilon_{\alpha\beta\gamma} m_\gamma + \dots \quad (10.9)$$

$$\mathbf{A}(\mathbf{r}) = \frac{\mathbf{m} \times \mathbf{r}}{r^3} + \dots \quad (10.10)$$

Mit  $\mathbf{B}(\mathbf{r}) = \text{rot } \mathbf{A}(\mathbf{r})$  folgt

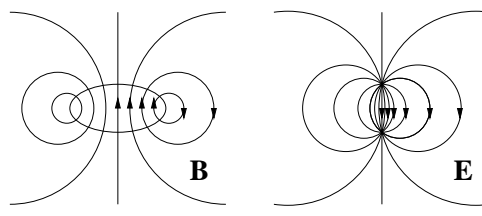
magnetic dipole moment.. Then one obtains

$$\mathbf{B}(\mathbf{r}) = \frac{3\mathbf{r}(\mathbf{m} \cdot \mathbf{r}) - \mathbf{m}r^2}{r^5} + \dots \quad (10.11)$$

Dies ist das Feld eines magnetischen Dipols. Es hat die gleiche Form wie das elektrische Feld des elektrischen Dipols (4.12)

$$\mathbf{E}(\mathbf{r}) = -\text{grad}\left(\frac{\mathbf{p} \cdot \mathbf{r}}{r^3}\right) = \frac{3\mathbf{r}(\mathbf{p} \cdot \mathbf{r}) - \mathbf{p}r^2}{r^5}, \quad (10.12)$$

aber es besteht ein Unterschied am Ort des Dipols. Anschaulich entnimmt man das der nebenstehenden Figur. Man berechne den  $\delta^3(\mathbf{r})$ -Beitrag zu den beiden Dipolmomenten. Vergleiche (B.71).



This is the field of a magnetic dipole. It has the same form as the electric field of an electric dipole (4.12) but there is a difference at the location of the dipole. This can be seen in the accompanying figure. Calculate the  $\delta^3(\mathbf{r})$ -contribution to both dipolar moments. Compare (B.71).

## 10.b Magnetisches Dipolmoment eines Ringstroms

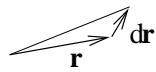
Für das Dipolmoment eines Stromes auf einer geschlossenen Kurve erhält man

$$\mathbf{m} = \frac{I}{2c} \int \mathbf{r} \times d\mathbf{r} = \frac{I}{c} \mathbf{f}, \quad (10.13)$$

zum Beispiel

$$m_z = \frac{I}{2c} \int (xdy - ydx) = \frac{I}{c} f_z. \quad (10.14)$$

Dabei ist  $f_a$  die Projektion der vom Leiter eingeschlossenen Fläche auf die von den beiden anderen Achsen aufgespannte Ebene



Here  $f_a$  is the projection of the area inside the loop onto the plane spanned by the two other axes

$$d\mathbf{f} = \frac{1}{2} \mathbf{r} \times d\mathbf{r}. \quad (10.15)$$

Falls  $\mathbf{j} = \sum_i q_i \mathbf{v}_i \delta^3(\mathbf{r} - \mathbf{r}_i)$ , dann folgt für das magnetische Moment aus (10.8)

$$\mathbf{m} = \frac{1}{2c} \sum_i q_i \mathbf{r}_i \times \mathbf{v}_i = \sum_i \frac{q_i}{2m_i c} \mathbf{l}_i, \quad (10.16)$$

wobei  $m_i$  für die Masse und  $\mathbf{l}_i$  für den Drehimpuls steht. Haben wir es mit einer Sorte Ladungsträger zu tun, dann gilt

$$\mathbf{m} = \frac{q}{2mc} \mathbf{l}. \quad (10.17)$$

If  $\mathbf{j} = \sum_i q_i \mathbf{v}_i \delta^3(\mathbf{r} - \mathbf{r}_i)$ , then using (10.8) the magnetic moment reads

where  $m_i$  is the mass and  $\mathbf{l}_i$  the angular momentum. If only one kind of charges is dealt with, then one has

Dies gilt für Orbitalströme. Für Spins hat man dagegen

$$\mathbf{m} = \frac{q}{2mc} \mathbf{s}, \quad (10.18)$$

wobei  $\mathbf{s}$  der Drehimpuls des Spins ist. Für Elektronen ist der gyromagnetische Faktor  $g = 2.0023$  und die Komponenten des Spins  $\mathbf{s}$  nehmen die Werte  $\pm\hbar/2$  an. Da der Bahndrehimpuls quantenmechanisch ganzzahlige Vielfache von  $\hbar$  annimmt, führt man als Einheit des magnetischen Moments des Elektrons das BOHRSCHE MAGNETON ein,  $\mu_B = \frac{e_0\hbar}{2m_0c} = 0.927 \cdot 10^{-20} \text{ dyn}^{1/2} \text{ cm}^2$ .

## 10.c Kraft und Drehmoment auf einen Dipol im äußeren magnetischen Feld

### 10.c. $\alpha$ Kraft

Eine äußere magnetische Induktion  $\mathbf{B}_a$  übt auf einen Ringstrom die LORENTZ-Kraft

$$\mathbf{K} = \frac{1}{c} \int d^3r \mathbf{j}(\mathbf{r}) \times \mathbf{B}_a(\mathbf{r}) = -\frac{1}{c} \mathbf{B}_a(0) \times \int d^3r \mathbf{j}(\mathbf{r}) - \frac{1}{c} \frac{\partial \mathbf{B}_a}{\partial x_\alpha} \times \int d^3r x_\alpha j_\beta(\mathbf{r}) \mathbf{e}_\beta - \dots = -\frac{\partial \mathbf{B}_a}{\partial x_\alpha} \times \mathbf{e}_\beta \epsilon_{\alpha\beta\gamma} m_\gamma \quad (10.19)$$

aus. Wir formen  $m_\gamma \epsilon_{\alpha\beta\gamma} \mathbf{e}_\beta = m_\gamma \mathbf{e}_\gamma \times \mathbf{e}_\alpha = \mathbf{m} \times \mathbf{e}_\alpha$  um und finden

$$\mathbf{K} = -\frac{\partial \mathbf{B}_a}{\partial x_\alpha} \times (\mathbf{m} \times \mathbf{e}_\alpha) = (\mathbf{m} \cdot \frac{\partial \mathbf{B}_a}{\partial x_\alpha}) \mathbf{e}_\alpha - (\mathbf{e}_\alpha \cdot \frac{\partial \mathbf{B}_a}{\partial x_\alpha}) \mathbf{m}. \quad (10.20)$$

Der letzte Term verschwindet wegen  $\operatorname{div} \mathbf{B} = 0$ . Für den ersten Term der rechten Seite erhalten wir  $(\mathbf{m} \cdot \frac{\partial \mathbf{B}_a}{\partial x_\alpha}) \mathbf{e}_\alpha = m_\gamma \frac{\partial B_{a,\gamma}}{\partial x_\alpha} \mathbf{e}_\alpha = m_\gamma \frac{\partial B_{a,\alpha}}{\partial x_\gamma} \mathbf{e}_\alpha = (\mathbf{m} \nabla) \mathbf{B}_a$ , wobei wir  $\operatorname{rot} \mathbf{B}_a = \mathbf{0}$  in der Gegend des Dipols verwendet haben. Daher bleibt

$$\mathbf{K} = (\mathbf{m} \operatorname{grad}) \mathbf{B}_a \quad (10.21)$$

als Kraft auf den magnetischen Dipol ausgedrückt durch den Vektorgradienten (B.18). Dies ist in Analogie zu (4.35), wo wir als Kraft auf den elektrischen Dipol  $(\mathbf{p} \operatorname{grad}) \mathbf{E}_a$  erhielten.

### 10.c. $\beta$ Drehmoment

Das mechanische Drehmoment auf den magnetischen Dipol ergibt sich zu

$$\mathbf{M}_{\text{mech}} = \frac{1}{c} \int d^3r \mathbf{r} \times (\mathbf{j} \times \mathbf{B}_a) = -\frac{1}{c} \mathbf{B}_a \int d^3r (\mathbf{r} \cdot \mathbf{j}) + \frac{1}{c} \int d^3r (\mathbf{B}_a \cdot \mathbf{r}) \mathbf{j}. \quad (10.22)$$

Das erste Integral verschwindet, was man mit (10.3) und  $g = r^2/2$  leicht sieht. Das zweite Integral ergibt

$$\mathbf{M}_{\text{mech}} = \frac{1}{c} \mathbf{e}_\beta B_{a,\alpha} \int d^3r x_\alpha j_\beta = B_{a,\alpha} \mathbf{e}_\beta \epsilon_{\alpha\beta\gamma} m_\gamma = \mathbf{m} \times \mathbf{B}_a \quad (10.23)$$

Analog war das Drehmoment auf einen elektrischen Dipol  $\mathbf{p} \times \mathbf{E}_a$ , (4.36).

This applies for orbital currents. For spins, however, one has

where  $\mathbf{s}$  is the angular momentum of the spin. The gyromagnetic factor for electrons is  $g = 2.0023$  and the components of the spin  $\mathbf{s}$  are  $\pm\hbar/2$ . Since in quantum mechanics the orbital angular momentum assumes integer multiples of  $\hbar$ , one introduces as unit for the magnetic moment of the electron BOHR's magneton,  $\mu_B = \frac{e_0\hbar}{2m_0c} = 0.927 \cdot 10^{-20} \text{ dyn}^{1/2} \text{ cm}^2$ .

## 10.c Force and Torque on a Dipole in an External Magnetic Field

### 10.c. $\alpha$ Force

An external magnetic induction  $\mathbf{B}_a$  exerts on a loop of a current the LORENTZ force

. We rewrite  $m_\gamma \epsilon_{\alpha\beta\gamma} \mathbf{e}_\beta = m_\gamma \mathbf{e}_\gamma \times \mathbf{e}_\alpha = \mathbf{m} \times \mathbf{e}_\alpha$  and find

The last term vanishes because of  $\operatorname{div} \mathbf{B} = 0$ . The first term on the right hand side can be written  $(\mathbf{m} \cdot \frac{\partial \mathbf{B}_a}{\partial x_\alpha}) \mathbf{e}_\alpha = m_\gamma \frac{\partial B_{a,\gamma}}{\partial x_\alpha} \mathbf{e}_\alpha = m_\gamma \frac{\partial B_{a,\alpha}}{\partial x_\gamma} \mathbf{e}_\alpha = (\mathbf{m} \nabla) \mathbf{B}_a$ , where we have used  $\operatorname{curl} \mathbf{B}_a = \mathbf{0}$  in the region of the dipole. Thus we obtain the force

$$\mathbf{K} = (\mathbf{m} \operatorname{grad}) \mathbf{B}_a \quad (10.21)$$

acting on the magnetic dipole expressed by the vector gradient (B.18). This is in analogy to (4.35), where we obtained the force  $(\mathbf{p} \operatorname{grad}) \mathbf{E}_a$  acting on an electric dipole.

### 10.c. $\beta$ Torque

The torque on a magnetic dipole is given by

The first integral vanishes, which is easily seen from (10.3) and  $g = r^2/2$ . The second integral yields

Analogously the torque on an electric dipole was  $\mathbf{p} \times \mathbf{E}_a$ , (4.36).

Aus dem Kraftgesetz schließt man auf die Energie eines magnetischen Dipols im äußeren Feldes zu

$$U = -\mathbf{m} \cdot \mathbf{B}_a. \quad (10.24)$$

Das ist korrekt für permanente magnetische Dipole. Aber das genaue Zustandekommen dieses Ausdrucks wird erst bei Behandlung des Induktionsgesetzes klar (Abschnitt 13).

From the law of force one concludes the energy of a magnetic dipole in an external field as

This is correct for permanent magnetic moments. However, the precise derivation of this expression becomes clear only when we treat the law of induction (section 13).

## 11 Magnetismus in Materie. Feld einer Spule

### 11.a Magnetismus in Materie

Ähnlich wie wir die Polarisationsladungen in der Elektrostatik von den freibeweglichen Ladungen separiert haben, zerlegen wir die Stromdichte in eine freibewegliche Ladungsstromdichte  $\mathbf{j}_f$  und in die Magnetisierungsstromdichte  $\mathbf{j}_M$ , die etwa von Orbitalströmen der Elektronen herrührt

$$\mathbf{j}(\mathbf{r}) = \mathbf{j}_f(\mathbf{r}) + \mathbf{j}_M(\mathbf{r}). \quad (11.1)$$

Wir führen dazu die Magnetisierung als magnetische Dipoldichte ein

$$\mathbf{M} = \frac{\sum \mathbf{m}_i}{\Delta V} \quad (11.2)$$

und führen wieder den Grenzübergang zum Kontinuum durch

$$\sum_i \mathbf{m}_i f(\mathbf{r}_i) \rightarrow \int d^3 r' \mathbf{M}(\mathbf{r}') f(\mathbf{r}'). \quad (11.3)$$

Dann erhalten wir für das Vektorpotential unter Verwendung von (10.10)

$$\mathbf{A}(\mathbf{r}) = \frac{1}{c} \int d^3 r' \frac{\mathbf{j}_f(\mathbf{r}')}{|\mathbf{r} - \mathbf{r}'|} + \int d^3 r' \frac{\mathbf{M}(\mathbf{r}') \times (\mathbf{r} - \mathbf{r}')}{|\mathbf{r} - \mathbf{r}'|^3}. \quad (11.4)$$

Das zweite Integral lässt sich umformen in

$$\int d^3 r' \mathbf{M}(\mathbf{r}') \times \nabla' \frac{1}{|\mathbf{r} - \mathbf{r}'|} = \int d^3 r' \frac{1}{|\mathbf{r} - \mathbf{r}'|} \nabla' \times \mathbf{M}(\mathbf{r}'), \quad (11.5)$$

so dass man

$$\mathbf{A}(\mathbf{r}) = \frac{1}{c} \int d^3 r' \frac{1}{|\mathbf{r} - \mathbf{r}'|} (\mathbf{j}_f(\mathbf{r}') + c \operatorname{rot}' \mathbf{M}(\mathbf{r}')) \quad (11.6)$$

erhält. Es liegt nahe,

. Thus one interprets

$$\mathbf{j}_M(\mathbf{r}') = c \operatorname{rot}' \mathbf{M}(\mathbf{r}') \quad (11.7)$$

als Magnetisierungsstromdichte zu interpretieren. Damit folgt dann für die magnetische Induktion

$$\operatorname{rot} \mathbf{B}(\mathbf{r}) = \frac{4\pi}{c} \mathbf{j}_f(\mathbf{r}) + 4\pi \operatorname{rot} \mathbf{M}(\mathbf{r}). \quad (11.8)$$

Man führt nun die magnetische Feldstärke

Now one introduces the magnetic field strength

$$\mathbf{H}(\mathbf{r}) := \mathbf{B}(\mathbf{r}) - 4\pi \mathbf{M}(\mathbf{r}) \quad (11.9)$$

ein, für die dann die MAXWELLgleichung

for which MAXWELL's equation

$$\operatorname{rot} \mathbf{H}(\mathbf{r}) = \frac{4\pi}{c} \mathbf{j}_f(\mathbf{r}) \quad (11.10)$$

## 11 Magnetism in Matter. Field of a Coil

### 11.a Magnetism in Matter

In a similar way as we separated the polarization charges from freely accessible charges, we divide the current density into a freely moving current density  $\mathbf{j}_f$  and the density of the magnetization current  $\mathbf{j}_M$ , which may come from orbital currents of electrons

$$\mathbf{j}(\mathbf{r}) = \mathbf{j}_f(\mathbf{r}) + \mathbf{j}_M(\mathbf{r}). \quad (11.1)$$

We introduce the magnetization as the density of magnetic dipoles

$$\mathbf{M} = \frac{\sum \mathbf{m}_i}{\Delta V} \quad (11.2)$$

and conduct the continuum limit

$$\sum_i \mathbf{m}_i f(\mathbf{r}_i) \rightarrow \int d^3 r' \mathbf{M}(\mathbf{r}') f(\mathbf{r}'). \quad (11.3)$$

Then using (10.10) we obtain for the vector potential

The second integral can be rewritten

$$(11.5)$$

so that one obtains

$$(11.6)$$

. Thus one interprets

$$(11.7)$$

as the density of the magnetization current. Then one obtains for the magnetic induction

$$(11.8)$$

Now one introduces the magnetic field strength

$$\mathbf{H}(\mathbf{r}) := \mathbf{B}(\mathbf{r}) - 4\pi \mathbf{M}(\mathbf{r}) \quad (11.9)$$

for which MAXWELL's equation

$$\operatorname{rot} \mathbf{H}(\mathbf{r}) = \frac{4\pi}{c} \mathbf{j}_f(\mathbf{r}) \quad (11.10)$$

gilt. An der anderen MAXWELLgleichung  $\operatorname{div} \mathbf{B}(\mathbf{r}) = 0$  ändert sich dadurch nichts.

Für para- und diamagnetische Substanzen ist für nicht zu große Feldstärken

$$\mathbf{M} = \chi_m \mathbf{H}, \quad \mathbf{B} = \mu \mathbf{H}, \quad \mu = 1 + 4\pi\chi_m, \quad (11.11)$$

wobei  $\chi_m$  als magnetische Suszeptibilität und  $\mu$  als relative Permeabilität bezeichnet werden. Im Supraleiter erster Art ist  $\mathbf{B} = \mathbf{0}$  (vollständiger Diamagnetismus). Die magnetische Induktion wird dort durch Oberflächenströme vollständig aus dem Material verdrängt.

Als Randbedingungen folgt analog zur Argumentation für die dielektrische Verschiebung und die elektrische Feldstärke die Stetigkeit der Normalkomponente  $B_n$  und bei Abwesenheit von Leitungsströmen die Stetigkeit der Tangentialkomponenten  $\mathbf{H}_t$ .

Im GAUSSSchen Maßsystem werden  $\mathbf{M}$  und  $\mathbf{H}$  genau so wie  $\mathbf{B}$  in  $\text{dyn}^{1/2} \text{cm}^{-1}$  gemessen, während im SI-System  $\mathbf{B}$  in  $\text{Vs/m}^2$ ,  $\mathbf{H}$  und  $\mathbf{M}$  in  $\text{A/m}$  gemessen werden. Dabei bestehen für  $\mathbf{H}$  und  $\mathbf{M}$  Umrechnungsfaktoren, die sich durch einen Faktor  $4\pi$  unterscheiden. Genaueres siehe Anhang A.

## 11.b Feld einer Spule

Das Feld einer Spule längs ihrer Achse haben wir in (9.13) bestimmt. Wir wollen nun generell das Feld einer zylindrischen Spule bestimmen. Dabei wollen wir zunächst ein elektrisches Analogon einführen. Das Feld zweier Ladungen  $q$  und  $-q$  an den Orten  $\mathbf{r}_2$  und  $\mathbf{r}_1$  ist äquivalent zum Feld einer Linie elektrischer Dipole  $d\mathbf{p} = qd\mathbf{r}'$  von  $\mathbf{r}' = \mathbf{r}_1$  bis  $\mathbf{r}' = \mathbf{r}_2$ . In der Tat finden wir für das Potential

$$\Phi(\mathbf{r}) = \int_{\mathbf{r}_1}^{\mathbf{r}_2} \frac{(\mathbf{r} - \mathbf{r}') \cdot d\mathbf{p}}{|\mathbf{r} - \mathbf{r}'|^3} = \int_{\mathbf{r}_1}^{\mathbf{r}_2} \frac{q(\mathbf{r} - \mathbf{r}') \cdot d\mathbf{r}'}{|\mathbf{r} - \mathbf{r}'|^3} = -\frac{q}{2} \int_{\mathbf{r}_1}^{\mathbf{r}_2} \frac{d(\mathbf{r} - \mathbf{r}')^2}{|\mathbf{r} - \mathbf{r}'|^3} = \frac{q}{|\mathbf{r} - \mathbf{r}_2|} - \frac{q}{|\mathbf{r} - \mathbf{r}_1|} \quad (11.12)$$

und damit das Feld

$$\mathbf{E}(\mathbf{r}) = q \left( \frac{\mathbf{r} - \mathbf{r}_2}{|\mathbf{r} - \mathbf{r}_2|^3} - \frac{\mathbf{r} - \mathbf{r}_1}{|\mathbf{r} - \mathbf{r}_1|^3} \right). \quad (11.13)$$

Das magnetische Analogon besteht nun darin, sich eine lange dünne Spule aus magnetischen Dipolen zusammengesetzt zu denken. Berücksichtigen wir, dass das Feld des elektrischen und des magnetischen Dipols die gleiche Form haben (10.11, 10.12) außer am Ort des Dipols, so folgt, in dem wir  $q$  durch  $q_m = NI_f/(lc)$  ersetzen, die magnetische Induktion

$$\mathbf{B}(\mathbf{r}) = q_m \left( \frac{\mathbf{r} - \mathbf{r}_2}{|\mathbf{r} - \mathbf{r}_2|^3} - \frac{\mathbf{r} - \mathbf{r}_1}{|\mathbf{r} - \mathbf{r}_1|^3} \right). \quad (11.15)$$

holds. MAXWELL's equation  $\operatorname{div} \mathbf{B}(\mathbf{r}) = 0$  remains unchanged.

One obtains for paramagnetic and diamagnetic materials in not too strong fields

where  $\chi_m$  is the magnetic susceptibility and  $\mu$  the permeability. In superconductors (of first kind) one finds complete diamagnetism  $\mathbf{B} = \mathbf{0}$ . There the magnetic induction is completely expelled from the interior by surface currents.

In analogy to the arguments for the dielectric displacement and the electric field one obtains that the normal component  $B_n$  is continuous, and in the absence of conductive currents also the tangential components  $\mathbf{H}_t$  are continuous across the boundary.

In the Gaussian system of units the fields  $\mathbf{M}$  and  $\mathbf{H}$  are measured just as  $\mathbf{B}$  in  $\text{dyn}^{1/2} \text{cm}^{-1}$ , whereas in SI-units  $\mathbf{B}$  is measured in  $\text{Vs/m}^2$ ,  $\mathbf{H}$  and  $\mathbf{M}$  in  $\text{A/m}$ . The conversion factors for  $\mathbf{H}$  and  $\mathbf{M}$  differ by a factor  $4\pi$ . For more information see appendix A.

## 11.b Field of a coil

The field of a coil along its axis was determined in (9.13). We will now determine the field of a cylindrical coil in general. In order to do so we firstly consider an electric analogy. The field between two charges  $q$  and  $-q$  at  $\mathbf{r}_2$  and  $\mathbf{r}_1$  is equivalent to a line of electric dipoles  $d\mathbf{p} = qd\mathbf{r}'$  from  $\mathbf{r}' = \mathbf{r}_1$  to  $\mathbf{r}' = \mathbf{r}_2$ . Indeed we obtain for the potential

and thus for the field

The magnetic analogy is to think of a long thin coil as consisting of magnetic dipoles

$$d\mathbf{m} = \frac{dI f}{dl c} d\mathbf{r} = \frac{NI f}{lc} d\mathbf{r} \quad (11.14)$$

. If we consider that the field of the electric and the magnetic dipole have the same form (10.11, 10.12) except at the point of the dipole, then it follows that we may replace  $q$  by  $q_m = NI f/(lc)$  in order to obtain the magnetic induction

Das Feld hat also eine Form, die man durch zwei magnetische Monopole der Polstärke  $q_m$  und  $-q_m$  beschreiben kann. Allerdings ist am Ort der Dipole das Feld im magnetischen Fall ein anderes. Dort, das heißt im Inneren der Spule, muss nämlich wegen der Divergenzfreiheit des Feldes bzw. um das AMPERESche Gesetz zu erfüllen ein zusätzliches Feld  $B = 4\pi NI/(lc)$  zurückfließen.

Etwas genauer bekommt man das mit folgender Überlegung: Wir stellen die Stromdichte in Analogie zu (11.7) als Rotationen einer fiktiven Magnetisierung  $\mathbf{j}_f = c \operatorname{rot} \mathbf{M}_f(\mathbf{r})$  dar. Für ein zylindrische Spule (der Querschnitt muss nicht kreisförmig zu sein) parallel zur  $z$ -Achse setzt man einfach  $\mathbf{M}_f = NI\mathbf{e}_z/(cl)$  im Inneren der Spule, außerhalb  $\mathbf{M}_f = \mathbf{0}$ . Dann folgt aus

$$\operatorname{rot} \mathbf{B} = \frac{4\pi}{c} \mathbf{j}_f(\mathbf{r}) = 4\pi \operatorname{rot} \mathbf{M}_f \quad (11.16)$$

die Induktion  $\mathbf{B}$  in der Form

$$\mathbf{B}(\mathbf{r}) = 4\pi \mathbf{M}_f(\mathbf{r}) - \operatorname{grad} \Psi(\mathbf{r}). \quad (11.17)$$

Die Funktion  $\Psi$  bestimmt sich aus

$$\operatorname{div} \mathbf{B} = 4\pi \operatorname{div} \mathbf{M}_f - \Delta \Psi = 0 \quad (11.18)$$

zu

$$\Psi(\mathbf{r}) = - \int d^3 r' \frac{\operatorname{div}' \mathbf{M}_f(\mathbf{r}')}{|\mathbf{r} - \mathbf{r}'|}. \quad (11.19)$$

Im vorliegenden Fall einer zylindrischen Spule ergibt die Divergenz einen Beitrag  $\delta(z - z_1)NI/(cl)$  an der Grundfläche und einen Beitrag  $-\delta(z - z_2)NI/(cl)$  an der Deckfläche der Spule, da die Normalkomponente von  $\mathbf{B}$  auf diesen Flächen um  $NI/(cl)$  springt, so dass

$$\Psi(\mathbf{r}) = \frac{NI}{cl} \left( \int_{F_2} \frac{d^2 r'}{|\mathbf{r} - \mathbf{r}'|} - \int_{F_1} \frac{d^2 r'}{|\mathbf{r} - \mathbf{r}'|} \right) \quad (11.20)$$

bleibt, wobei  $F_2$  die Deckfläche und  $F_1$  die Grundfläche ist. Man erhält also daraus eine magnetische Induktion, als ob auf der Deckfläche und der Grundfläche der Spule eine magnetische Ladung der Flächenladungsdichte  $\pm NI/(cl)$  vorhanden wäre. Dieser Beitrag führt zu einem Sprung in der Induktion an Deck- und Grundfläche, die aber durch den zusätzlichen Beitrag  $4\pi \mathbf{M}_f$  in der Spule kompensiert wird. Die gesamte Polstärke ergibt sich als Deck-(Grund-)fläche mal Flächenladungsdichte zu  $\pm q_m$ .

Man bezeichnet  $\Psi(\mathbf{r})$  als magnetisches Potential. Wegen des zusätzlichen Beitrags  $4\pi \mathbf{M}_f(\mathbf{r})$  in (11.17) ist es im Gegensatz zu den Potentialen  $\Phi(\mathbf{r})$  und  $\mathbf{A}(\mathbf{r})$  nur von bedingtem Nutzen. Wir werden es im Weiteren nicht verwenden.

**Aufgabe** Man berechne Magnetfeld und magnetische Induktion für den Fall, dass die Spule mit einem Kern der Permeabilität  $\mu$  gefüllt ist.

Thus the field has a form which can be described by two magnetic monopoles with strengths  $q_m$  und  $-q_m$ . However, at the positions of the dipoles the field differs in the magnetic case. There, i.e. inside the coil an additional field  $B = 4\pi NI/(lc)$  flows back so that the field is divergence free and fulfills AMPERE's law.

In order to obtain the result in a more precise way one uses the following consideration: We represent the current density in analogy to (11.7) as curl of a fictitious magnetization  $\mathbf{j}_f = c \operatorname{rot} \mathbf{M}_f(\mathbf{r})$  inside the coil, outside  $\mathbf{M}_f = \mathbf{0}$ . For a cylindrical (its cross-section needs not be circular) coil parallel to the  $z$ -axis one puts simply  $\mathbf{M}_f = NI\mathbf{e}_z/(cl)$ . Then one obtains from

$$\operatorname{rot} \mathbf{B} = \frac{4\pi}{c} \mathbf{j}_f(\mathbf{r}) = 4\pi \operatorname{rot} \mathbf{M}_f \quad (11.16)$$

the induction  $\mathbf{B}$  in the form

$$\mathbf{B}(\mathbf{r}) = 4\pi \mathbf{M}_f(\mathbf{r}) - \operatorname{grad} \Psi(\mathbf{r}). \quad (11.17)$$

The function  $\Psi$  is determined from

as

The divergency yields in the present case of a cylindrical coil a contribution  $\delta(z - z_1)NI/(cl)$  at the covering and a contribution  $-\delta(z - z_2)NI/(cl)$  at the basal surface of the coil, since the component of  $\mathbf{B}$  normal to the surface jumps by  $NI/(cl)$ , which yields

, where  $F_2$  is the covering and  $F_1$  the basal surface. Thus one obtains an induction, as if there were magnetic charge densities  $\pm NI/(cl)$  per area at the covering and the basal surface. This contribution yields a discontinuity of the induction at these parts of the surface which is compensated by the additional contribution  $4\pi \mathbf{M}_f$  inside the coil. The total strength of pole  $\pm q_m$  is the area of the basal (ground) surface times the charge density per area.

One calls  $\Psi(\mathbf{r})$  the magnetic potential. In view of the additional contribution  $4\pi \mathbf{M}_f(\mathbf{r})$  in (11.17) it is in contrast to the potentials  $\Phi(\mathbf{r})$  and  $\mathbf{A}(\mathbf{r})$  only of limited use. We will not use it in the following.

**Exercise** Calculate magnetic field and magnetic induction for the coil filled by a core of permeability  $\mu$ .

**Aufgabe** Man zeige, dass die  $z$ -Komponente der magnetischen Induktion proportional zur Differenz des Raumwinkels ist, unter dem vom jeweiligen Ort die (durchsichtig gedachte) Windungsfläche von außen und von innen erscheint.

**Exercise** Show that the  $z$ -component of the magnetic induction is proportional to the difference of the solid angles under which the (transparently thought) coil appears from outside and from inside.